

2527

钻井设备设计与计算

下册

A·Л·伊里斯基著

中国工业出版社

本书系苏联高等教育部批准作为苏联石油高等院校的教学参考书。共分上下二册，本册主要介绍起下钻设备中的绞车设计与计算；吊升系统中各种部件的结构设计与计算要点；泥浆泵、水龙头及转盘的技术要求，构件的计算与设计原理及方法等。最后一章介绍了钻具自动进给机构的原理与选择等。

本书可作为我国高、中等院校教学参考书，并可供有关石油钻井机械设计、制造及技术工作者的参考使用。

* * *

钻井设备设计与计算

下册

沈家骏 吴廷栋等译

*

石油工业部编辑室编辑（北京北郊六道庄石油工业部）

中国工业出版社出版（北京东城区丙10号）

（北京市书刊出版业营业登记证字第110号）

中国工业出版社第三印刷厂印刷

新华书店北京发行所发行·各地新华书店经售

*

开本850×1168¹/32·印张11⁵/8·字数268,000

1962年3月北京第一版·1962年3月北京第一次印刷

印数0001—1,450·定价(10—7) 1.95元

*

统一书号：15165·51(石油—16)

目 录

第四篇 起下鑽設備

| | | |
|--------------------|-------|----|
| 第一章 起下鑽 | | 1 |
| § 1. 起下鑽运动学 | | 1 |
| 起下鑽过程 | | 1 |
| 提升设备运动学 | | 4 |
| § 2. 鑽机提升设备計算載荷的确定 | | 10 |
| 提升设备各部件最大載荷的确定 | | 10 |
| 提升设备相当載荷的确定 | | 17 |
| § 3. 起下鑽时间 | | 22 |
| 起下鑽时间 | | 22 |
| 自井中提出的鑽柱长度及立根数的确定 | | 25 |
| 整套提升设备及各机械的机勁时间 | | 29 |
| 第二章 紋車及其构件 | | 31 |
| § 1. 紋車的用途、規格及类型 | | 31 |
| § 2. 紺車的传动方案与結構方案 | | 35 |
| § 3. 紺車的机身与滾筒 | | 43 |
| 底架 | | 43 |
| 紋車滾筒 | | 49 |
| § 4. 紺車的刹车 | | 61 |
| 紋車的帶式刹车 | | 63 |
| 紋車帶式刹车的結構 | | 63 |
| 帶式刹车的計算 | | 72 |
| 紋車的減速刹车 | | 80 |
| § 5. 輔助工作用的猫头及自动猫头 | | 87 |
| 用途 | | 87 |
| 猫头的结构 | | 88 |
| 自动猫头的结构 | | 90 |

| | |
|---------------------|-----|
| 第三章 吊升系統 | 94 |
| § 1. 用途、类型及一般要求 | 94 |
| § 2. 天車及游動滑車 | 95 |
| 天車的結構 | 97 |
| 游動滑車的結構 | 102 |
| 天車及游動滑車的計算要点 | 109 |
| 滑輪軸承理論壽命的計算 | 117 |
| § 3. 油矿机械所用鋼絲繩 | 119 |
| 鋼絲繩的結構 | 119 |
| 捻角及股中鋼絲的接触特性 | 125 |
| 鋼絲繩的性能 | 126 |
| 油矿机械用鋼絲繩的計算要点 | 134 |
| § 4. 大鉤 | 140 |
| 用途、技术要求与类型 | 140 |
| 大鉤的結構 | 142 |
| 大鉤計算与設計的要点 | 152 |
| § 5. 吊卡的吊环 | 159 |
| 用途、技术要求及类型 | 159 |
| 吊环的結構及其計算要点 | 161 |
| § 6. 鋼絲繩死端固定装置 | 163 |
| 用途、技术要求及类型 | 163 |
| 死繩端固定装置的結構与計算 | 163 |
| 第四章 輔助鑽井工具 | 167 |
| § 1. 用途、組成及基本要求 | 167 |
| § 2. 卡住和懸吊管柱用的輔助工具 | 169 |
| 技术要求及类型 | 169 |
| 卡住和起下管柱用的輔助工具的結構 | 171 |
| 在轉盤上卡住和懸吊管柱所用工具的結構 | 177 |
| 卡住和懸吊管柱所用工具的計算与設計要点 | 185 |
| § 3. 鑽桿和套管鑽扣用的輔助工具 | 186 |
| 技术要求及类型 | 186 |

| | |
|---------------------------|------------|
| 管柱的擰扣工具..... | 187 |
| 管柱用的大鉗..... | 189 |
| 松緊管扣用的工具..... | 195 |
| 松緊管扣用工具的計算及設計要點..... | 196 |
| 第五篇 鑽井設備 | |
| 第一章 水龙头 | 199 |
| § 1. 用途、技术要求及类型..... | 199 |
| § 2. 水龙头的結構方案..... | 201 |
| § 3. 水龙头及其构件的結構..... | 203 |
| § 4. 水龙头設計及計算的要点..... | 219 |
| 第二章 轉盤 | 223 |
| § 1. 用途、技术要求、类型及結構方案..... | 223 |
| § 2. 轉盤及其构件的結構..... | 226 |
| § 3. 轉盤的設計及計算要點..... | 236 |
| 第三章 泥漿泵 | 241 |
| § 1. 用途及技术要求..... | 241 |
| § 2. 泥漿泵的作用原理..... | 243 |
| § 3. 泥漿泵及其构件的結構..... | 245 |
| 泵的驅動部分..... | 249 |
| 泵的液力部分..... | 265 |
| 泵液力部分的設備..... | 283 |
| § 4. 泥漿泵及其构件的計算和設計..... | 293 |
| 泥漿泵的排量..... | 293 |
| 活塞的运动..... | 294 |
| 排量图..... | 296 |
| 空气包的計算..... | 301 |
| 吸入..... | 305 |
| 吸入管內水击的影响..... | 308 |
| 气侵液体对泵工作的影响..... | 310 |
| 吸入管綫上的灌注泵..... | 311 |
| 泥漿泵凡尔..... | 312 |

| | |
|------------------------------|------------|
| 基本参数的关系..... | 316 |
| 泵的功率和效率..... | 318 |
| 計算負荷..... | 320 |
| 泵液力部份的强度計算..... | 321 |
| 泵驅動部份构件的計算..... | 325 |
| 第四章 鑽具給进調節机构 | 329 |
| § 1. 鑽具給进的調節和自動化的任务..... | 329 |
| § 2. 自動給进器的用途及作用原理..... | 331 |
| § 3. 自動給进器的結構..... | 333 |
| 利用絞車剎車系統調節鑽头給进速度..... | 333 |
| 鑽头水力給进机构..... | 337 |
| 鑽头电动給进机构..... | 344 |
| 鑽头机械給进机构..... | 354 |
| § 4. 鑽头給进机构基本参数的选择和計算要点..... | 356 |
| 調節参数的选择..... | 356 |
| 特性的选择..... | 357 |
| 給进机构类型的选择..... | 359 |
| 参考文献..... | 364 |

第四篇 起下鑽設備

第一章 起下鑽

§1. 起下鑽運動學

起下鉆過程

鑽井包括两种截然不同的主要过程：1) 旋轉的鑽頭破碎岩石；2) 起下鑽具，更換磨損了的鑽头。

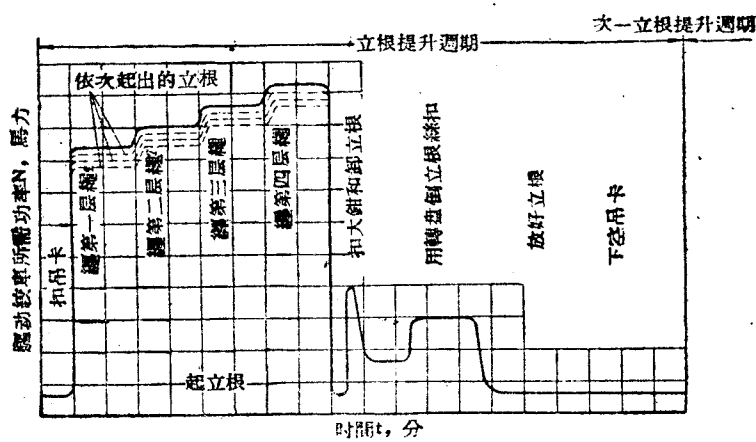


图 191 立根提升图解

从井中提升鑽柱（鑽柱系由立根組成）的过程包括下列各項操作：

- a) 提升全個鑽柱，提起一個立根的高度；
- b) 將鑽柱卡在轉盤上，能除已提出立根的拉伸載荷；

b) 卸絲扣，使已提出的立根与下部鑽柱脱离，並將它放在鑽台的立根盒上或放在鑽台下附近的管架上；

i) 下放无载大鉤及吊卡，扣住鑽柱；

ii) 扣住並提升鑽柱，使上升一个立根的高度。依此順序进行起鑽工作。

下放鑽柱按与提升时的相反次序进行。

一个立根的起下时间包括机动及机手动时间。

起下一个立根的机动时间的长短取决于提升设备结构的完善程度、功率、提升速度等；机手动操作时间的长短则取决于立根的尺寸与重量，此过程的机械化程度、井队的技术水平等。

图191所示为立根提升周期图解。图192所示为立根下放图解。从这些图中可明显地看出，起下鑽时机动及机手动时间的关系。

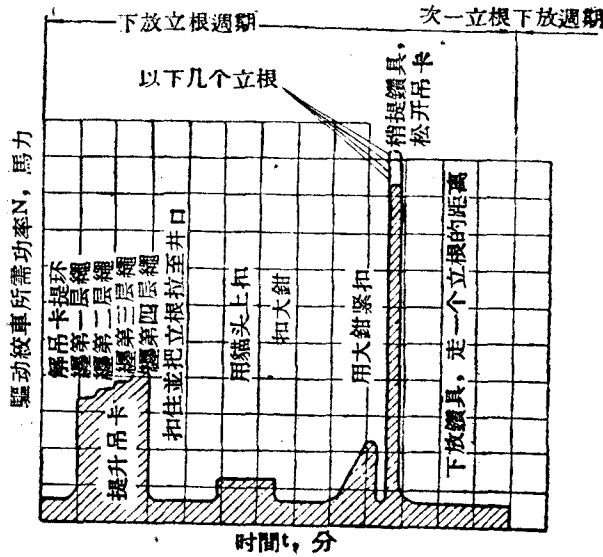


图 192 立根下放图解

从某一定深度起鑽时。这些周期的数目将等于这个深度中鑽

柱的立根数目。

起下鑽总时间包括提升鑽柱的机动时间、下放空吊卡以扣住下一个立根的时间、下放鑽柱的时间及提升空吊卡以扣住立根盒中下一个要下放的立根的时间（或提升吊卡带单根—自管架上吊起单根—的时间）。

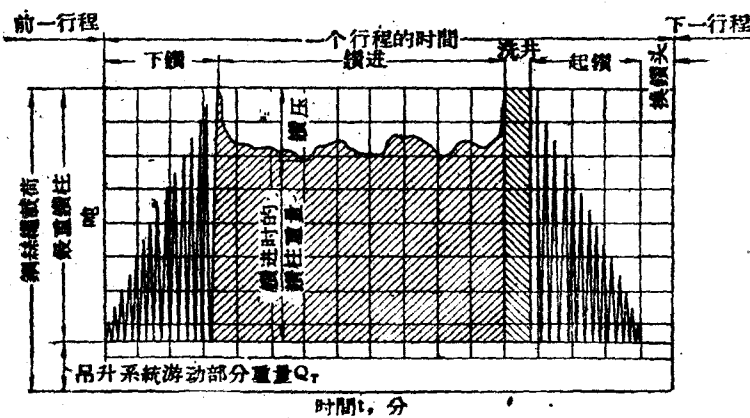


图193 一个行程的时间

图193所示为一个行程的图解。

在鑽一口井的全部時間內应利用提升設備进行的行程次数取决于井深及井身結構、岩石可鑽性、鑽井方法及技术水平、鑽头質量，等等。图194所示为行程次数与每行程进尺 H_i 及井深之間的关系。通常在軟地层鑽深井时，需要用几个到几十个鑽头；而在硬地层时，有时要用几百个鑽头。

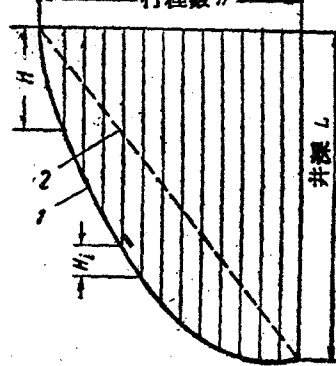


图 194 行程次数与进尺的关系
1— $H_i = \text{变数}$; 2— $H_i = \text{常数}$ 。

在鑽井過程中，隨井之漸深鑽柱長度逐漸增加，鑽柱重量增加，因而提升設備的載荷增加。

研究從某一定深度起一次鑽的过程就可看出：提升設備的載荷總是隨鑽柱逐漸從井中起出而有規律地減少。載荷減少的程度取決於一個立根的重量。

提升設備運動學

鑽機上有用於起下鑽具的一套提升設備。

圖195所示為此套設備的傳動系統簡圖。此系統包括發動機A、帶變速箱的傳動機構B、絞車B及吊升系I' (I—IV)。

在每一立根提升週期中，如用蒸汽機和電動機驅動，則掛合絞車滾筒系與起動發動機同時進行。

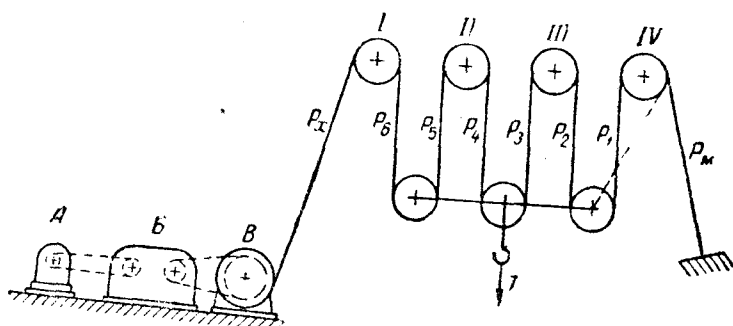


圖 195 吊升系統傳動圖

如用內燃機驅動，則絞車滾筒系可在運轉中掛合，同時要加大發動機馬力，以克服負荷及機構靜止部份的慣性力。

在靜止系統的始動階段，其慣性力一部份靠降低旋轉件（與發動機聯在一起者）的能量及其轉速的辦法來克服，也靠發動機的能量來克服。

當起下鑽操作掛檔次數多時，應考慮用摩擦離合器來傳遞這些力量。

为了使起下鑽时荷重的运动減慢及停止，在絞車上装有刹车，一般为带式的，而在深井鑽机上还装有減速刹车（水刹车），它仅在下鑽时使用。

为了使絞車滾筒的旋轉运动轉变为往复运动以提升荷重及減小絞車的牵引力，采用吊升系統。

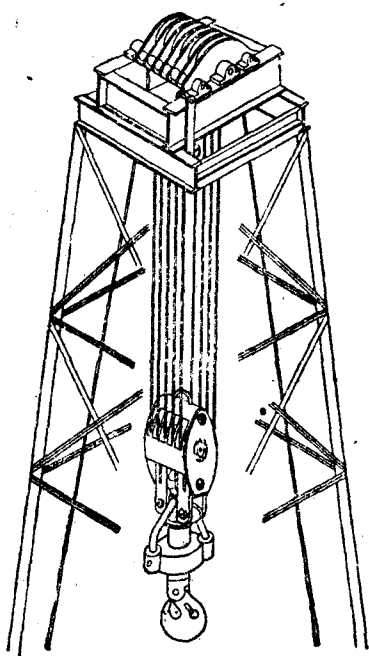


图 196 吊升系統

吊升系統(图196)包括：

固定滑輪組——天車（位于井架頂部天車台上）、活動滑輪組——游動滑車、鋼絲繩及大鉤。大鉤用吊卡吊着鑽柱。

依鑽機用途及負荷能力採用不同輪數的吊升系統。輪數由 1×2 到 6×7 （游動滑輪數 \times 固定滑輪數）。

在鑽井工作中吊升系統常采用两种穿繩方式。

最通用的穿繩方式为死繩端拴在絞車底座大樑上；另一种方式是死繩端拴在游動滑車上。当然在这两种方式中，鋼絲繩的运动速度及滑輪的轉數都不同。

在起下鑽具的時間內，由于发动机的轉速不均匀、鋼絲繩在滾筒上的纏繞半徑有变化、提升設備的效率不是常数以及鑽具在井中有阻力，因此提升設備各构件的运动速度不是常数。在起鑽时絞車滾筒的平均轉速

$$n_i = \frac{n_d}{i}, \quad (99)$$

式中 n_d ——发动机軸的額定轉數，轉/分；

i ——由发动机軸到絞車滾筒軸的总传动比, $i = i_1, i_2 \dots, i_n$, 其中 i_1, i_2, \dots, i_n ——发动机軸与絞車滾筒軸中間各传动付的传动比。

滚筒上的瞬时纏繩速度:

$$v = -\frac{\pi D' n_i}{60} \text{ 米/秒}, \quad (100)$$

式中 D' ——瞬时变化的纏繩直径, 米。

最小纏繩直径

$$D_0 = D\sigma + d_0, \quad (101)$$

式中 $D\sigma$ ——滚筒(纏繩部份)直径, 米;

d_0 ——鋼絲繩直径, 米。

最大纏繩直径

$$D_c = D\sigma \times a (Z - 1) d_0, \quad (101a)$$

式中 Z ——纏繩层数;

a ——纏繩直径減少系数, 纜繩直径由于繩受挤压及相互压入繩間而減少, $a = 0.93$ ④。

平均纏繩直径

$$D_{cp} = \frac{D_0 + D_c}{2} \text{ 米}. \quad (101b)$$

故已知絞車滾筒轉數及其尺寸, 即可求出鋼絲繩及大鈎的最大、最小及平均速度(不計始動及制動阶段)。

快繩平均速度:

$$v_0 = -\frac{\pi D_{cp} n_i}{60}. \quad (102)$$

大鈎平均速度

$$v_k = -\frac{v_0}{k}, \quad (102a)$$

④ 鋼絲繩在滾筒上按螺旋綫方向纏繞, 故相邻上下两层的纏繩方向相反。

式中 κ ——游动滑輪的两倍数目或吊升系統中的工作繩數。

考慮始動及制動阶段后大鉤实际平均起下速度

$$v_K' = \frac{h}{t_1 + t_2 + t_3}, \quad (102b)$$

式中 h ——大鉤行程，米。

天車滑輪轉速

$$n_K = \frac{60 v_K \kappa i}{\pi D_{\text{m}}}. \quad (103)$$

游动滑車滑輪轉速

$$n_r = \frac{60 v_K (\kappa_i - 1)}{\pi D_{\text{m}}}, \quad (103a)$$

式中 D_{m} ——滑輪計算直徑，米；

κ_i ——所研究的构件前的游动滑輪两倍数目。

現在我們較詳細地研究一下在起下鑽操作时吊升系統的运动过程。

当自井中起鑽柱时，絞車提起負載大鉤，而在下鑽时 則提起帶着无載吊升的大鉤。

当往井內下放鑽柱时，大鉤負載下降，而在起鑽时，則大鉤无載下降。、

起下一个立根的周期可包括两个或三个阶段：1)始動阶段 t_1 ，在此時間內荷重增加运动速度；2)稳定运动阶段 t_2 及3)減速运动阶段 t_3 到完全停止。在某些情况下可能不存在 稳定运动阶段。

图197所示为吊升負載时大鉤的提升速度曲綫（曲綫1）及吊卡不負載时大鉤的提升速度曲綫（曲綫2）。

由图可見起升不負載吊卡的周期曲綫在鑽井的任一，時間內不变，並且平均速度 $v_{\text{cp.s}}$ （包括始動及制動阶段）也不变。

当吊卡負載时，由于以一定速度逐漸將鑽柱提出，每提起一个立根，鑽柱重量就有所減少，始動時間及消耗于提升一个立根

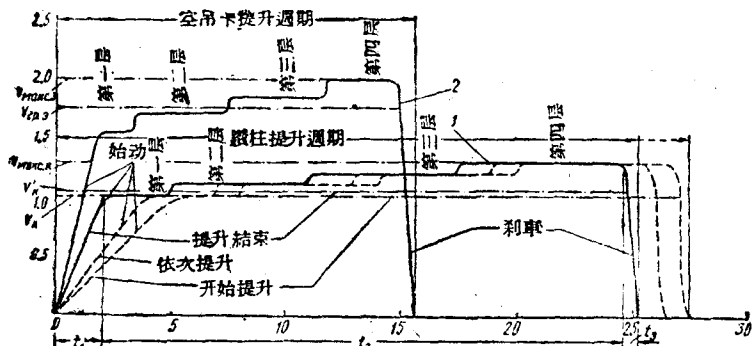


图 197 大钩的提升速度曲线

的总时间就将减少。

提升时实际的大钩平均速度取决于缠绕在滚筒上第一层及最末一层钢丝绳的长度，并取决于始动的加速程度。实际的平均速度与按钢丝绳平均缠绕层求出的速度可能差 3—8%。在实际计算时此误差可以忽略不计。

提升时的始动时间取决于发动机以传动机构的功率、灵敏性及特性的柔韧性。在近代鑽机上无载吊卡的始动时间 $t_{1k}=1.5$ —3 秒。

负载大钩的始动时间可由下式决定：

$$t_{1k} = \frac{(GD^2)_{np} n_k}{375 (M_{nyc k} - M_T)}, \quad (104)$$

式中 $(GD^2)_{np}$ ——简化为发动机轴上的旋转件回转力矩，公斤·米²；

$M_{nyc k}$ ——在始动阶段发动机的转矩，公斤米；

M_T ——简化为发动机轴上的荷重转矩，公斤米。

依鑽柱重量及发动机功率的不同，始动时间 t_{1k} 在 2—3 秒到 8—10 秒之间。

稳定运动阶段

$$t_{2K} = \frac{h}{v_K}, \quad (105a)$$

中 h ——提升高度，在計算时可取其等于立根长度，米。

滚筒摘挡后减速运动阶段

$$t_{3K} = \sqrt{\frac{2 v_K}{g}}. \quad (105b)$$

提升荷重的制动时间一般 $t_{3K} = 0.3 - 0.5$ 秒。

下放时始动阶段 t_1 及制动阶段 t_2 可按經驗数据选择。

图198所示为 $4\frac{1}{2}$ " 鑽柱吊卡负载及无载时大钩的下放速度曲线。

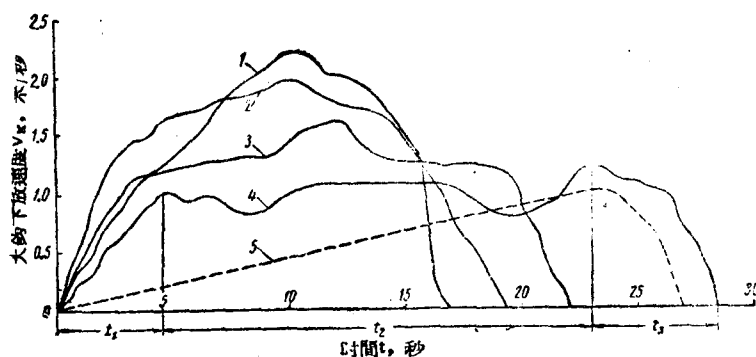


图 198 大钩下放速度曲线

大钩载荷：1—3吨；2—28吨；3—43吨；4—105吨；5—无载吊卡。

无载吊卡下放曲线（曲线5包括吊卡自由始动阶段 t_{15} 到 t_{MAX} 及制动阶段 t_{39} 。稳定运动阶段 t_{29} 不存在。当钻柱不重时，下放曲线是两阶段的（曲线1、2）。随钻柱重量增加，曲线改变为三阶段的（曲线3、4、5）。此时平均速度及最高速度降低，而始动时间 t_{1K} 及制动时间 t_{3K} 增加。

图199所示为钻柱重量与下放的最大速度及平均速度变化曲线。由此曲线可看出：随钻柱重量增加，最大速度与平均速度之差就减少。

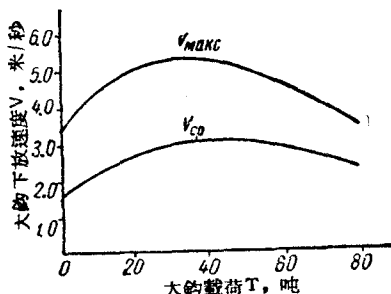


图 199 下放速度与鑽柱重量的
关系曲綫

設備及其部件的強度、各另件的尺寸、热处理及机械加工都以满足此二基本条件作为选择的标准。

在第一种情况下部件的强度应当满足一般条件：

$$\sigma \leq \frac{\sigma_s}{m} = R_{\text{доп}}, \quad (106)$$

式中 σ ——在最大靜載及动載作用下，另件产生的总应力，公斤/厘米²；

σ_s ——另件材料的屈服限度，公斤/厘米²；

m ——安全系数；

$R_{\text{доп}}$ ——另件材料許用应力，公斤/厘米²。

在第二种情况下，部件的疲劳強度应当满足以下条件，即在相当載荷作用下在另件中产生的应力不应超过該种材料的許用持久限度。

提升设备各部件最大载荷的确定

大 钩 载 荷

大钩的载荷通常在起下套管或鑽桿柱时最大，得視那一种管柱更重。

在求最大载荷时，应当考虑动载，

§2. 鑽机提升设备

計算載荷的確定

鑽机的提升设备通常按最大作用载荷进行强度计算，同时考虑动载的影响，并按相当载荷进行疲劳计算。此时认为在整个使用时间內相当载荷是在某特定计算状态下作用的。

$$T_K = fG + \frac{Ga}{g}, \quad (107)$$

式中 f ——管柱在井中运动的阻力，这里考虑了輕微的卡鑽及管柱与井壁的摩擦；通常取 $f=1.2-1.3$ ；
 G ——管柱在液体中的最大重量，公斤；
 g ——自由落体加速度，等于9.81米/秒²；
 a ——大鉤在始动阶段的加速度或在下放时的減速度，米/秒²。

在計算时，可以取大鉤在始动及制动阶段的运动为等加速的，于是

$$a = \frac{v_K}{t_1}.$$

游动滑車、天車及井架的載荷

游动滑車載荷的求法与大鉤載荷的求法相同，不同处只是增加了大鉤的重量。

游动滑車的最大載荷

$$T_T = fG + G_K + \frac{(G + G_K) a}{g}, \quad (107a)$$

式中 G_K ——大鉤重量，公斤。

同理可求天車最大載荷，但得考慮掛在天車下的游动滑車及鋼絲繩的重量：

$$T_{K_P} = fG + G_T + \frac{(G + G_T) a}{g} + P_x + P_M, \quad (107b)$$

式中 G_T ——吊升系統（大鉤、游动滑車、大鉤在下位时的鋼絲繩）的重量，公斤；

P_x, P_M ——游动滑車快繩及死繩端的張力，公斤。

井架上的最大垂直載荷 (107c)

$$T_B = T_{K_P} + G_K,$$